

# $^{12}\text{C} + ^{115}\text{In}$ 反应中余核 I 和 Sb 的反冲研究

孙彤玉 李文新 董天荣 斯根明

傅 民 孙秀华 孙锡军

(中国科学院近代物理研究所, 兰州)

## 摘要

在能量高达  $72\text{MeV}$  的  $^{12}\text{C}$  轰击  $^{115}\text{In}$  ( $Z = 49$ ) 的反应中, 使用核化学技术测量了  $^8\text{Be}$  和  $\alpha$  转移的余核碘 ( $Z = 53$ ) 和 锌 ( $Z = 51$ ) 同位素的激发函数和角分布。用简单的运动学方法分析了余核角分布后指出, 碘同位素来自三种不同的反应机制, 即复合核蒸发  $\alpha$ , 强阻尼的非完全熔合以及不完全动量转移的裂开-熔合过程。在入射能量约  $70\text{MeV}$  时, 后两个过程(或统称为  $^8\text{Be}$  转移)的截面为 100 多毫巴, 显著大于根据锌同位素截面导出的大约 17 毫巴的  $\alpha$  转移反应截面。实验结果和类似反应中测量出射  $\alpha$  粒子得到的结论很好相符。

## 引言

在较轻的重离子特别是  $^{12}\text{C}$  引起的核反应中,  $\alpha$  粒子出射是一个主要反应道。实验测到的  $\alpha$  截面比预言的蒸发  $\alpha$  截面大得多的现象引起了人们广泛的兴趣<sup>[1-7]</sup>。根据实验测定的  $\alpha$  粒子角分布和能谱可以看到出射的  $\alpha$  起源于若干不同的反应机制: 大角度微分截面趋于常数, 这是复合核蒸发  $\alpha$  机制, 其角分布为各向同性或  $90^\circ$  对称; 角分布在擦边角附近成峰, 这是转移反应的特征; 当入射能量较高时,  $\alpha$  粒子在前角成峰, 其能量和它原来入射速度相当。非蒸发的后两种  $\alpha$  粒子的来源可以用非完全熔合反应机制来解释<sup>[4,6]</sup>。

基于  $^{12}\text{C}$  具有 3 个  $\alpha$  集团结构的特殊性, 在  $^{12}\text{C}$  引起的重离子反应中, 存在着两种转移反应导致出射  $\alpha$  的可能性: 即  $^8\text{Be}$  转移出射  $\alpha$  和  $\alpha$  转移出射  $^8\text{Be}$ , 后者立即分裂成两个  $\alpha$ 。为了区别这两种过程, 在实验中需要用  $\Delta E-E$  中孔探测器进行  $\alpha-\alpha$  符合测量, 结果表明,  $^8\text{Be}$  转移截面显著大于  $\alpha$  转移截面<sup>[2-4]</sup>。专门研究反应余核的核化学技术提供了另一种区别手段, 因为这两种转移过程产生的余核是完全不同的两个元素。

核化学技术的最大特点是它能毫不含糊地鉴定反应产物的核电荷  $Z$  和质量数  $A$ , 并能得到这些产物的生成截面数据。当使用反冲方法时, 还可以测定反冲余核的角分布和射程(能量)分布, 从而可以补充和完善根据测量出射粒子获得的关于反应机制的资料。由于这些原因, 核化学技术在重离子反应机制研究中得到广泛应用<sup>[6-8]</sup>。本工作用核化学方

法测定了  $^{12}\text{C}$  和  $^{115}\text{In}$  相互作用中  $^{8}\text{Be}$  和  $\alpha$  转移余核碘和锑同位素的激发函数以及它们反冲的角分布。并将实验结果和测量出射  $\alpha$  粒子的研究结果进行了比较，以便进一步了解  $^{12}\text{C}$  离子引起核反应的机制。

## 实 验

用真空喷涂法将天然金属铟(含  $^{115}\text{In}$  95.72%) 制成无衬和 Al 衬两种靶子。Al 衬厚度为  $1.5\text{ mg/cm}^2$ ，靶厚用称重法确定。在激发函数的测定中，使用水冷却的多层靶子和 Al 收集箔叠在一起的靶组，每片靶厚约  $2.5\text{ mg/cm}^2$ 。在测量角分布的实验中，使用了直径为 4mm 的束流准直光栏，靶厚约  $800\mu\text{g/cm}^2$ 。从靶中反冲出来的产物被离靶 15cm 处的同心环状 Al 箔所收集。每个 Al 环对靶子的张角为  $5^\circ$ ，角分布测量范围从  $5^\circ$  到  $55^\circ$ 。

实验在近代物理研究所 1.5m 重离子回旋加速器上进行。 $^{12}\text{C}$  离子最高能量为 72MeV，低能  $^{12}\text{C}$  用一定厚度的 Al 降能箔获得，有效  $^{12}\text{C}$  离子能量根据已知的射程能量关系计算<sup>[14]</sup>。束流强度用法拉第筒并通过多定标方式记录。典型束流强度为  $0.2\text{--}0.5\mu\text{A}$ 。照射时间为 20 分钟到 4 小时不等。

照射结束后，将靶子和 Al 收集箔（在角分布实验中则仅仅是 Al 收集箔）溶解于含有已知量 I 和 Sb 载体的 HCl 或 NaOH 中。I 的分离和纯化基于  $\text{CCl}_4$  萃取<sup>[12]</sup>。在碱性溶液中用  $\text{NaOCl}$  将低价 I 全部氧化到  $\text{IO}_4^-$ ，以达到同位素交换平衡。 $\text{HNO}_3$  酸化后，用  $\text{NH}_2 \cdot \text{HCl}$  还原 I 到元素态，并萃取到  $\text{CCl}_4$  中。再用稀的  $\text{NaHSO}_3$  溶液反萃取，最后在加热情况下用  $\text{AgNO}_3$  沉淀出  $\text{AgI}$ 。Sb 在 4N 的 HCl 中用还原铁粉还原成金属锑<sup>[13]</sup>。沉淀溶于王水，经稀释后，通以  $\text{H}_2\text{S}$  沉淀出  $\text{Sb}_2\text{S}_3$ 。重复硫化锑的沉淀过程，最后溶于 HCl，在 3N 的 HCl 中加入新制备的  $\text{CrCl}_2$  溶液还原出金属锑。沉淀出的  $\text{AgI}$  和金属锑分别经过过滤、干燥和称重以确定化学产额。

分离得到的样品用 2—4 台 Ge (Li) 或高纯 Ge  $\gamma$  探测器和 PLURIMAT-N 或 MULTI-8 组成的系统进行  $\gamma$  测量，探测效率用原子能研究所提供的一套标准源刻度，计算截面使用的核素的半寿命和  $\gamma$  射线绝对强度取自文献 [14]，列在表 1 中。

表 1 碘和锑一些同位素的蜕变特征

核 素	半 寿 命	$\gamma$ 射线能量 (keV)	$\gamma$ 射线强度
$^{116}\text{Sb}^m$	60.3 分	407.4	42
$^{117}\text{Sb}$	2.80 小时	158.6	86.3
$^{118}\text{Sb}^m$	5.00 小时	1050.7 1229.6	96.5 100
$^{119}\text{I}$	18.0 分	257.5	94.0
$^{120}\text{I}^A$	1.35 小时	641.1	9.1
$^{120}\text{I}^B$	53 分	614.7	67
$^{121}\text{I}$	2.12 小时	212.5 531.9	84.3 6.15

## 结果和讨论

本实验鉴定了  $^{116}\text{Sb}^m$ ,  $^{117}\text{Sb}$  和  $^{118}\text{Sb}^m$  3 个锑同位素以及  $^{119}\text{I}$ ,  $^{120}\text{I}^A$ ,  $^{120}\text{I}^B$  和  $^{121}\text{I}$  4 个碘同位素。在 39—72 MeV 轰击能量范围内的若干个能量下测定了它们的截面, 由此得到的激发函数见图 1。在 69.2 MeV 下  $^{117}\text{Sb}$  和  $^{118}\text{Sb}^m$  的角分布(实验室系, 下同)见图 2。在 66 MeV、69 MeV 和 72 MeV 3 个轰击能量下测定了  $^{120}\text{I}^A$ ,  $^{120}\text{I}^B$  和  $^{121}\text{I}$  的角分布。3 个核素的角分布形状完全相似, 图 3 是  $^{121}\text{I}$  在这 3 个轰击能量下的角分布。

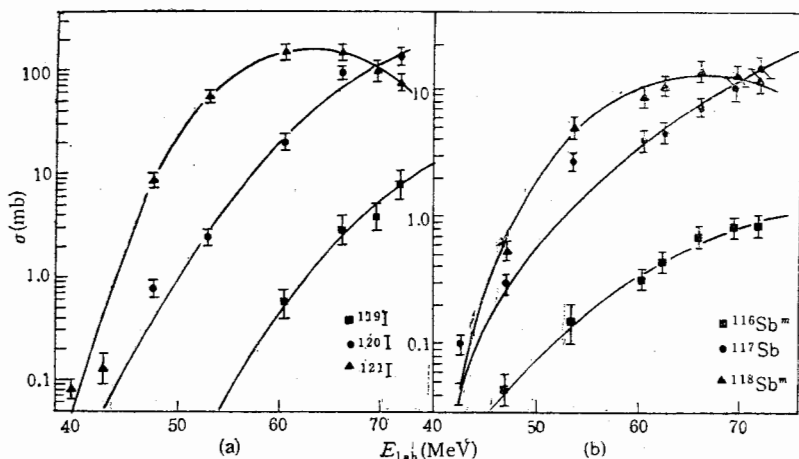


图 1  $^{12}\text{C}$  和  $^{115}\text{In}$  相互作用中 I(a) 和 Sb(b) 同位素的激发函数

从图 1 的激发曲线看到, 截面基本上随入射能量增加而增加, 清楚表明这些余核的生成都存在着直接反应的贡献。Sb 同位素的生成有两种可能, 或者是  $\alpha$  转移到靶子接着蒸发出 1—2 个中子, 或者是复合核蒸发带电粒子和中子接着进行级联  $\beta^+$  或电子俘获蜕变。图 2 中  $^{118}\text{Sb}^m$  的角分布大约在  $40^\circ$  (实验室系) 成峰, 这显然是  $\alpha$  转移特征。事实上,  $^{118}\text{Sb}^m$  是屏蔽核, 不可能由其他核素通过级联  $\beta^+$  或电子俘获蜕变而生成。与  $^{118}\text{Sb}^m$  不同,  $^{117}\text{Sb}$  角分布除了近似在  $40^\circ$  成峰外, 微分截面随角度减小而增加并显示在  $0^\circ$  成峰。后者是复合核形成机制的特征。因为  $^{117}\text{Sb}$  的母体  $^{117}\text{Te}$  以大约 60 分钟半寿命蜕变到  $^{117}\text{Sb}$ , 而  $^{117}\text{Te}$  在相当程度上是通过复合核蒸发粒子和一系列蜕变而生成。由此可见, 本实验中  $^{117}\text{Sb}$  大部分起源于和复合核有关的过程, 少部分是  $\alpha$  转移反应生成的。这和 Strudler 等人在  $^{12}\text{C} + ^{115}\text{In}$  反应中测定  $^{117}\text{Sb}$  反冲射程的结果相吻合<sup>[8]</sup>。

从图 2 可以大致估计在 69.2 MeV 轰击能量下, 大约 28% 的  $^{117}\text{Sb}$  来自  $\alpha$  转移反应。因此, 由实验测定的 Sb 同位素截面求和可以得到, 当入射  $^{12}\text{C}$  能量为 69.2 MeV 时,  $\alpha$  转移截面为  $17 \pm 5\text{mb}$ 。这个值可能偏低一些, 因为它没有包括实验未测到的  $^{118}\text{Sb}^g$  (半寿命为 3.6 分钟) 的贡献。但是这个值和  $^{12}\text{C} + ^{124}\text{Sn}$  反应测到的  $^8\text{Be}$  出射(即  $\alpha$  转移)截面  $22 \pm 4\text{mb}$  大致相当。

在  $^{12}\text{C} + ^{115}\text{In}$  反应中, 当入射  $^{12}\text{C}$  最高能量为 72 MeV 时, 形成复合核  $^{117}\text{Cs}$  的激发

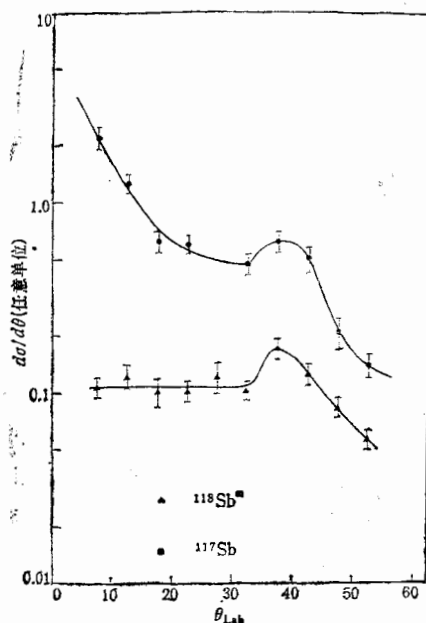


图 2  $69.2 \text{MeV} ^{12}\text{C} + ^{113}\text{In}$  反应  
中  $^{117}\text{Sb}$  和  $^{118}\text{Sbm}$  的角分布

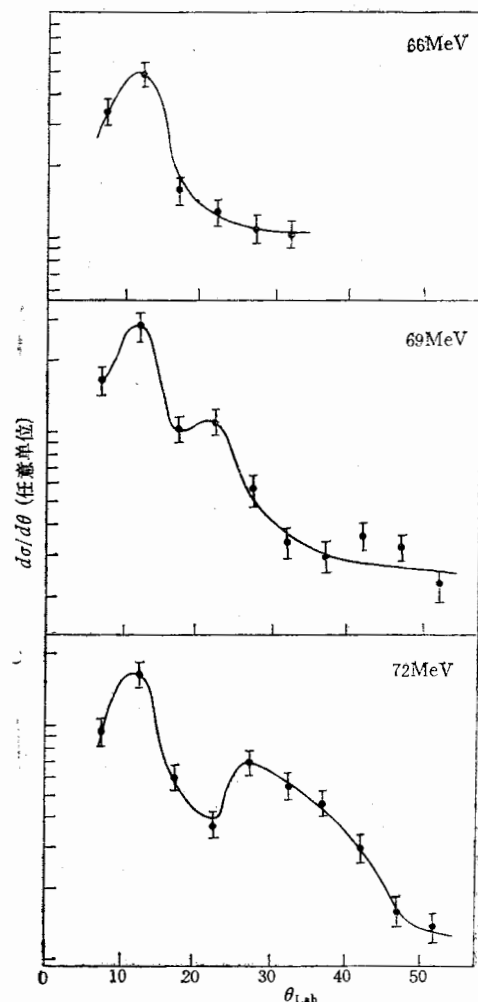


图 3  $^{12}\text{C} + ^{113}\text{In}$  反应中  $^{119}\text{I}$  的角分布

能为  $62 \text{MeV}$ 。根据能量平衡计算, 最可能的中子蒸发数为  $4-5$ 。因此, 实验测定的  $^{119}\text{I}$ ,  $^{120}\text{I}^{\text{A}}$ ,  $^{120}\text{I}^{\text{B}}$  和  $^{121}\text{I}$  不可能是复合核蒸发  $6-8$  个中子得到  $^{119-121}\text{Cs}$  再经级联  $\beta^+$  蜕变产生。用快速化学分离  $^{12}\text{C} + ^{113}\text{In}$  反应生成的  $\text{Xe}$  同位素的  $\gamma$  谱也未能检测到  $^{119-121}\text{Cs}$  脱变到  $^{119-121}\text{I}$  的中间产物  $^{120}\text{Xe}$  和  $^{121}\text{Xe}$  也证实了这一点<sup>[15]</sup>。由于排除了这个反应道产生  $^{119-121}\text{I}$  同位素的可能性, 所以 I 同位素的角分布在  $0^\circ$  不应该成峰, 这和实验测量结果相一致(见图 3)。

碘同位素起源于几种不同的反应机制。首先是通过复合核形成, 接着蒸发 1 个  $\alpha$  粒子和几个中子。在蒸发  $\alpha$  时给反冲的复合核一个动量, 使余核有一个角度分布。和 Bimbot 在  $^{12}\text{C} + ^{209}\text{Bi}$  工作中所作的分析一样<sup>[16]</sup>, 这个分布的极大值  $\theta_{\text{max}}$  用  $\langle \theta^2 \rangle = 2\langle V_\alpha \rangle^2 / 3V_{\text{CN}}^2$  计算。这里  $\theta$  是  $\alpha$  蒸发后余核对束流方向的实验室系反冲角,  $\langle \theta^2 \rangle$  是  $\theta^2$  的平均值,  $V_{\text{CN}}$  是蒸发  $\alpha$  以前复合核的反冲速度,  $V_\alpha$  是由于  $\alpha$  蒸发使余核产生的反冲速度。这里,

假定  $\alpha$  蒸发在质心系各向同性，并且余核反冲角不受随后中子蒸发的影响。蒸发的  $\alpha$  粒子能量按它和余核的库仑位垒计算，其中  $r_0$  取 1.4 费米。当入射  $^{12}\text{C}$  为 66MeV 和 72MeV 时，计算得到  $\theta_{\max}$  分别为  $14^\circ$  和  $13^\circ$ ，和实验测定的 I 同位素角分布主要峰位在  $13^\circ$  附近相一致。

I 同位素生成的另一种方式是  $^{12}\text{C}$  核中  $^8\text{Be}$  集团转移给靶核，结果得到的角分布可用简单的描述转移反应的两步模型预言。Hahn 等人曾用这个方法解释了  $^{12}\text{C} + ^{239}\text{Pu}$  反应中生成的  $^{244}\text{C}_f$  和  $^{245}\text{C}_f$  的角分布<sup>[10]</sup>。根据这个模型，反应第一步，入射  $^{12}\text{C}$  和靶核作用，把它的动量转移给合成系统，形成一个速度为  $\mathbf{V}_{R_1}$  的余核（见图 4）。第二步， $^{12}\text{C}$  中的  $\alpha$  集团和留下的余核之间发生卢瑟福散射， $\alpha$  以一定的出射速度沿质心角  $\phi$  飞开，余核

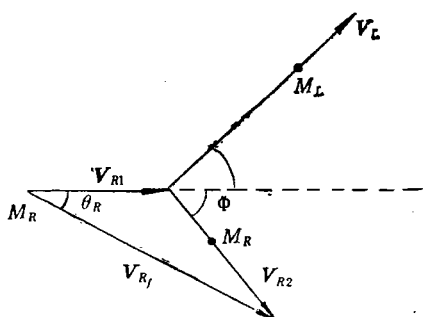


图 4 二步转移模型的速度矢量图示

得到又一次反冲速度  $\mathbf{V}_{R_2}$ 。两个过程的结果使余核得到合成速度  $\mathbf{V}_{R_f}$ ，形成实验室反冲角  $\theta_R$ 。用二步模型计算反冲角时还依赖于更详细的反应机制的假设。已经知道， $^{12}\text{C}$  和中重靶核相互作用时，当入射能不很高时，各向异性的出射  $\alpha$  在接近擦边角成峰，具有转移反应特征，但  $\alpha$  能谱又有蒸发特点，即  $\alpha$  最可几能量接近它和余核的库仑能<sup>[4]</sup>。这些  $\alpha$  粒子的来源可以用强阻尼粘合转动的非完全熔合反应来解释<sup>[4]</sup>。根据这个模型，入射  $^{12}\text{C}$  离子受到全阻尼，全部动量转移给复合体系， $^{12}\text{C}$  和靶核的切向摩擦使复合体系转动到一定角度时，由于强烈形变从  $^{12}\text{C}$  分离出的  $\alpha$  集团在库仑力和离心力作用下发射出去，余下的  $^8\text{Be}$  就和靶核结合在一起。根据这个熔合-裂开过程，并由  $^{12}\text{C} + \text{Ag}$  和  $^{12}\text{C} + ^{124}\text{Sn}$  的测量出射  $\alpha$  的实验结果，取  $\alpha$  出射角为  $50^\circ$ （质心系）， $\alpha$  的动能为 17MeV<sup>[4,7]</sup>。当  $^{12}\text{C}$  入射能量在 66—72MeV 时，由两步模型计算得到余核成峰角为  $15^\circ$ — $16^\circ$ ，与 I 同位素的实验角分布很接近。由此可见，在  $^{12}\text{C} + ^{115}\text{In}$  反应中余核 I 的角分布和测量出射  $\alpha$  粒子的实验得出的如下结论相一致：当入射  $^{12}\text{C}$  能量超过库仑位垒不很多时，出射的  $\alpha$  来源于全熔合蒸发和强阻尼非完全熔合过程<sup>[2-4]</sup>。但是在本实验中，这两种反应机制无法进一步区分。

在较高入射能量下，I 同位素在大角度成峰是特别有趣的。正如从图 3 看到的，在 66MeV 时，余核 I 只有一个在  $13^\circ$  附近的峰。轰击能量增加到 69MeV 时，除了  $13^\circ$  附近的峰外，在  $23^\circ$  附近显示一个肩。到 72MeV 时，在  $28^\circ$  附近存在一个明显的峰。在  $^{12}\text{C} + ^{93}\text{Nb}$  反应中，反冲余核  $^{99}\text{Rh}$  和  $^{100}\text{Rh}$  也显示出相似的角分布<sup>[16]</sup>。这表明随着入射能量增加出现了导致靶核增加 4 个核电荷的另一种反应机制。从出射  $\alpha$  的实验研究结果

知道,当入射能量超过库仑位垒较多时,非蒸发成分的  $\alpha$  粒子角分布从擦边角成峰变为前角成峰,  $\alpha$  粒子能量从接近库仑能变为具有入射炮弹原有的速度。这些  $\alpha$  粒子的形成可以用裂开-熔合过程解释<sup>[6]</sup>。即入射  $^{12}\text{C}$  能量较高时,由于和靶核强烈作用首先破裂成  $^8\text{Be}$  和  $\alpha$  两个结团,其中  $^8\text{Be}$  和靶核熔合,余下的  $\alpha$  继续以原有的入射速度向前运动,在  $\frac{d\sigma}{d\Omega}-\theta$  图上形成前峰角。这部分  $\alpha$  粒子传递给余核的横向动量比以擦边角出射的  $\alpha$  给余核的少,但是由于  $\alpha$  粒子速度较大,特别是因为只有部分入射动量转移给靶核,使得合成系统速度  $V_{R_i}$  显著低于强阻尼碰撞后合成系统的速度,还是可能导致余核在较大角度成峰。根据最近发表的 70MeV  $^{12}\text{C} + ^{112,114}\text{Sn}$  反应中出射  $\alpha$  的实验数据<sup>[7]</sup>,我们使用上述二步转移过程假设详细计算了每个角度出射的  $\alpha$  粒子所对应余核的出射角。当假定 2/3 的  $^{12}\text{C}$  入射动能转移给合成系统时,计算指出,与裂开-熔合机制出射的  $\alpha$  粒子相对应余核在  $\frac{d\sigma}{d\Omega}-\theta$  的角分布图上约 25° 处成峰。这和本实验测量结果基本相符。如果考虑  $\alpha$  粒子能量分布,余核成峰角有向更大角度移动的趋势。根据  $^{12}\text{C}$  引起的反应中出射  $\alpha$  粒子的系统研究<sup>[17]</sup>,当入射能高于库仑位垒 10MeV 时,裂开-熔合过程才开始出现。本实验用 66 MeV  $^{12}\text{C}$  轰击  $^{115}\text{In}$  时,入射能高出库仑位垒约 17MeV,这时非蒸发成分的  $\alpha$  主要通过强阻尼过程发射,裂开-熔合过程的贡献还比较小,余核角分布也未能明显看到该过程的存在。当入射能增加到约 70MeV 后,裂开-熔合反应截面迅速增加,使其成为一个主要的反应机制,因而在 25° 附近出现明显的峰。由此还可见,裂开-熔合反应对入射能的变化是非常灵敏的。

综上所述,在能量高达 72MeV 的  $^{12}\text{C}$  和  $^{115}\text{In}$  相互作用中,碘同位素来自三种不同反应机制:复合核蒸发  $\alpha$ ,强阻尼粘合转动的熔合-裂开过程以及不完全动量转移的裂开-熔合过程。后两类过程可统称为  $^8\text{Be}$  大质量转移。根据碘同位素的激发函数,大约 70MeV  $^{12}\text{C}$  入射能量下,碘同位素总生成截面为 240mb。在这个靶质量区和入射能量下,复合核蒸发  $\alpha$  截面约为 100mb<sup>[4]</sup>。因此,扣除这个贡献后,由  $^8\text{Be}$  转移生成碘同位素的截面大约为 100 多 mb,显著大于根据锑同位素测定的  $\alpha$  转移截面(17mb)。这个结论和根据测量  $\alpha$  出射实验得到的结论相一致<sup>[2-4]</sup>。

郑蔓芳参加早期部分实验,葛素仙制备了铟靶,谨表示深切谢意。我们还感谢加速器运行组和多道组在工作中的支持和帮助,以及梁国照和戴光曦对本工作的关心和有益的讨论。

## 参 考 文 献

- [1] H. C. Britt and A. R. Quiton, *Phys. Rev.*, **124**(1961), 877.
- [2] 沈文庆等, 高能物理与核物理, **1**(1977), 70.
- [3] 王大延等, 高能物理与核物理, **6**(1982), 609.
- [4] 戴光曦等, 高能物理与核物理, **7**(1983), 86.
- [5] 斯根明等, 高能物理与核物理, **9**(1985), 207.
- [6] 戴光曦等, Heavy Ion Fusion Reaction, in *Proceeding of the Tsukuba International Symposium* (1984), p. 218.
- [7] 王大延等, 高能物理与核物理, **10**(1986), 68.

- [8] P. M. Strudler, I. L. Preiss and R. Wolfgang, *Phys. Rev.*, **154**(1966), 1129.
- [9] R. Bimbot et al., *Nuclear Physics*, **A189**(1972), 193.
- [10] R. L. Hahn et al., *Phys. Rev.*, **C10**(1974), 1889.
- [11] L. C. Northcliffe and R. Schilling, *Nucl. Data Table*, **1**(1970), 233.
- [12] L. E. Glendenin and R. P. Metcalf, NAS-NS-3005(1960).
- [13] A. S. Newton and W. R. McDonell, NAS-NS-3033(1960).
- [14] U. Reus et al., *Gamma-Ray Catalog*, GSI-Report, 79-2.
- [15] 谢秀君等,核化学与放射化学, **5**(1983), 25.
- [16] 孙锡军等,私人通讯。
- [17] 斯根明,近代物理研究所1985年年报。

## RECOIL STUDY OF RESIDUAL NUCLEI I AND Sb IN THE REACTION INDUCED BY $^{12}\text{C}$ ON $^{115}\text{In}$

SUN TONG-YU LI WEN-XIN DONG TIAN-RONG JIN GEN-MING

FU MING SUN XIU-HUA SUN XI-JUN

*(Institute of Modern Physics, Academia Sinica, Lanzhou)*

### ABSTRACT

Excitation functions and angular distributions of the residual nuclei I and Sb were measured in the reaction of  $^{12}\text{C}$  on  $^{115}\text{In}$  at energies up to 72 MeV using radiochemical techniques. A kinematic analysis of the angular distributions showed probable mechanisms leading to productions of I and Sb isotopes.

· · 稲 — 和 成 模 果 有 的 核 能 组 中 形 子 ( 这 两